

姜文清,戚艳,沙若荷,等. PTEN 在多烯磷脂酰胆碱下调 LPS 诱导巨噬细胞炎症反应中的抑制作用 [J]. 中国比较医学杂志, 2019, 29(8): 44-49.

Jiang WQ, Qi Y, Sha RH, et al. Inhibitory effect of PTEN on polyene phosphatidylcholine in downregulating LPS-induced macrophage inflammatory response [J]. Chin J Comp Med, 2019, 29(8): 44-49.

doi: 10.3969/j.issn.1671-7856. 2019. 08. 007

PTEN 在多烯磷脂酰胆碱下调 LPS 诱导巨噬细胞炎症反应中的抑制作用

姜文清^{1,2,3#}, 戚 艳^{1,2,3#}, 沙若荷^{1,2,3}, 章 欣^{1,2,3}, 陈静越^{1,2,3}, 潘 伟^{1,3}, 孙芬芬^{1,3*}

(1. 江苏省免疫与代谢重点实验室, 病原生物学与免疫学教研室; 2. 临床医学系; 3. 基础医学国家级实验教学示范中心; 徐州医科大学, 江苏 徐州 221004)

【摘要】目的 研究临床护肝药—多烯磷脂酰胆碱 (polyene phosphatidyl choline, PPC) 对 LPS 诱导巨噬细胞 (macrophages, Mφ) 炎症的调控作用以及第 10 号染色体上缺失的磷酸酶-张力蛋白同系物 (phosphate and tension homology deleted on chromosome ten, PTEN) 在上述过程中的作用, 初步明确 PPC 的抗炎效果及机制。方法 将 Raw264.7 细胞铺于细胞培养板, 分别加入 PPC (20 μg/mL)、LPS (100 ng/mL)、PPC (20 μg/mL) + LPS (100 ng/mL)、PPC (20 μg/mL) + SF1670 (PTEN 抑制剂, 150 ng/mL)、PPC (20 μg/mL) + LPS (100 ng/mL) + SF1670 (150 ng/mL) 以及等体积 PBS, 培养 24 h 后, 收集细胞沉淀及培养上清, ELISA 法检测上清中 IL-6、IL-10、TNF-α 含量; RT-PCR 检测细胞中 IL-6 的 mRNA 相对表达量; Western blot 检测细胞中 PTEN 的蛋白表达情况。结果 相比 PBS 组, PPC 组 TNF-α、IL-6、IL-10 分泌量无明显差异; 相比 LPS 组, PPC+LPS 组培养上清中 TNF-α、IL-6 水平明显降低 ($P < 0.001$), 而 IL-10 水平明显升高 ($P < 0.001$)。相比 LPS 组, PPC+LPS 组 PTEN 蛋白表达量明显升高。相比 PPC 组, PPC+SF1670 组 TNF-α、IL-6 分泌或表达量明显升高 ($P < 0.05$); 相比 PPC+LPS 组, PPC+LPS+SF1670 组 TNF-α、IL-6 分泌或表达水平明显升高 ($P < 0.05$), 而 IL-10 分泌量明显降低 ($P < 0.05$)。结论 PPC 可通过上调 PTEN 表达以抑制 LPS 诱导 Mφ 炎症反应。

【关键词】 多烯磷脂酰胆碱; 巨噬细胞; PTEN; 炎症因子

【中图分类号】 R-33 **【文献标识码】** A **【文章编号】** 1671-7856(2019) 08-0044-06

Inhibitory effect of PTEN on polyene phosphatidylcholine in downregulating LPS-induced macrophage inflammatory response

JIANG Wenqing^{1,2,3#}, QI Yan^{1,2,3#}, SHA Ruohé^{1,2,3}, ZHANG Xin^{1,2,3}, CHEN Jingyue^{1,2,3}, PAN Wei^{1,3}, SUN Fenfen^{1,3*}

(1. Jiangsu Key Laboratory of Immunity and Metabolism, Department of Pathogenic Biology and Immunology;
2. Department of Clinical Medicine; 3. National Experimental Teaching Demonstration Center for Basic Medicine;
Xuzhou Medical University, Xuzhou 221004, China)

【Abstract】 Objective To investigate the regulatory role of the clinical heparinica, polyene phosphatidylcholine (PPC), on LPS-induced macrophage inflammatory response and whether phosphate and tension homology deleted on

[基金项目] 国家自然科学基金(81871670); 国家级大学生创业创新训练计划项目(201710313023Z, 201710313023); 江苏省博士后科研资助计划(2019K063)。

[作者简介] 姜文清(1996—), 女, 本科生, 研究方向: 炎性疾病发病的分子机制研究。E-mail: 2331213952@qq.com

戚艳(1994—), 女, 本科生, 研究方向: 炎性疾病发病的分子机制研究。E-mail: 11148183259@qq.com #共同第一作者

[通信作者] 孙芬芬(1984—), 女, 硕士, 实验师, 研究方向: 炎性疾病发病的分子机制研。E-mail: fen_1208@163.com

chromosome ten (PTEN) is involved in the process. The study also preliminarily determined the anti-inflammatory effect of PPC and its underlying mechanisms. **Methods** Raw 264.7 cells were inoculated on cell culture plates and divided into six groups, which were labeled and induced as follows: PPC (20 μg/mL), LPS (100 ng/mL), LPS (100 ng/mL) + PPC (20 μg/mL), PPC (20 μg/mL) + SF1670 (150 ng/mL), PPC (20 μg/mL) + SF1670 (150 ng/mL) + LPS (100 ng/mL) or an equal volume of phosphate-buffered saline (PBS) groups. The cells and supernatants were collected after 24 h. Enzyme-linked immunosorbent assay was used to detect the levels of IL-6, IL-10 and TNF-α. RT-PCR was applied to detect the mRNA expression of IL-6. Western blot was performed to confirm the PTEN protein expression. **Results** TNF-α and IL-10 levels in the supernatants did not significantly differ between the PBS and PPC groups. Compared with the LPS group, the TNF-α and IL-6 levels in culture supernatants of the PPC+LPS group decreased significantly ($P<0.001$), while the IL-10 level increased significantly ($P<0.001$). PTEN protein expression in the PPC+LPS group was significantly higher than that of the LPS group. Compared with the PPC group, the TNF-α levels and IL-6 mRNA expression in the PPC+SF1670 group were significantly increased ($P<0.05$). The PPC+LPS+SF1670 group showed elevated TNF-α and IL-6 production ($P<0.001$) but lower IL-10 production ($P<0.001$) than that of the PPC+LPS group. **Conclusions** PPC inhibits LPS-induced macrophage inflammatory response by upregulating PTEN expression.

[Keywords] polyene phosphatidylcholine; macrophage cells; PTEN; inflammatory cytokine

磷脂酰胆碱(phosphatidyl choline, PC),亦称卵磷脂,是细胞膜和细胞器膜的重要组成部分^[1]。传统用法上,PC作为一种保健品,具有安神补脑、美容养颜、减肥与清理血管内垃圾等功能。但新近发现该成分亦具有免疫调节作用^[2-3]。研究证实,tuftsin-PC复合物可改善小鼠类风湿性关节炎(rheumatoid arthritis, RA)病情,其机制可能与诱导调节性T细胞(regulatory T cells, Tregs)和调节性B细胞(regulatory B cells, Bregs)增多有关^[4];不仅如此,该化合物还可通过诱导DC细胞产生IL-10以改善小鼠炎症性肠炎病情^[3]。

多烯磷脂酰胆碱(polyene phosphatidyl choline, PPC),是一种护肝药,临幊上广泛应用于各种肝病类型的治疗^[5-8],包括酒精所致肝纤维化、肝细胞脂肪变性及非酒精性脂肪性肝炎等。PPC的主要成分为PC,提示PPC可能具有抗炎作用。课题组前期研究发现PPC可下调LPS诱导的巨噬细胞(macrophages, Mφ)炎症反应,并能改善大鼠类风湿性关节炎病情^[9]。这提示PPC具有治疗炎性疾病潜力。深入探讨PPC的作用机制将为开发PPC作为抗炎药提供理论基础,但目前尚不明确。

第10号染色体缺失的张力蛋白-磷酸酶同系物(phosphatase and tensin homolog deleted on chromosome ten, PTEN),是1997年人类发现的第一个具有磷酸化酶功能的抑癌基因^[10]。其编码蛋白可调控细胞生长发育、凋亡、迁移、信号传递等^[11-12]。那么,PTEN是否参与了PPC的抗炎过程,尚不明确。本研究以小鼠Mφ系Raw264.7为模型,探讨PPC对LPS诱导Mφ炎症的调控作用以及

PTEN在上述过程中的作用,研究结果将为开发PPC作为抗炎药奠定实验依据。

1 材料和方法

1.1 巨噬细胞细胞系

Raw 264.7 细胞株由本实验室保存。

1.2 主要试剂与仪器

DMEM/HIGH Glucose 培养基(美国 Hyclone 公司),胎牛血清(fetal bovine serum, FBS)(美国 Gibco 公司),PTEN 及 β-actin 抗体(英国 Abcam 公司),抗兔二抗(武汉 ABclonal 公司),小鼠 IL-6、IL-10、TNF-α ELISA 检测试剂盒(美国 eBioscience 公司),多烯磷脂酰胆碱注射液(赛诺菲安万特(北京)制药有限公司),PrimeScript™ RT Master Mix(日本 Takara 公司),TransStart Top Green qPCR SuperMix(北京金式全生物有限公司),LPS(美国 Sigma 公司),SF1670(PTEN 抑制剂,美国 ApexBio 公司),ECL 化学发光试剂盒(德国 Millipore 公司),青霉素、链霉素溶液(美国 Gibco 公司)。

荧光定量 PCR 仪(德国 Roche Light® Cycler480 II),分光光度计(Nanodrop Lite),酶标仪(美国 Bioteck 酶标仪),Western blot 电泳湿转系统(美国 Bio-Rad 公司),CO₂ 细胞培养箱(德国 Thermo Scientific),TRIzol(碧云天)。

1.3 实验方法

1.3.1 巨噬细胞系培养

RAW264.7 细胞以 $5\times10^5/\text{mL}$ 铺于 6 孔板,每孔 2 mL 完全培养基(含 10% 胎牛血清、青霉素 100 U/mL 和链霉素 100 μg/mL)。于 37°C、5% CO₂ 培

养箱中进行培养及实验。

1.3.2 实验分组

(一) PPC 对 LPS 诱导 M ϕ 炎症反应的调控作用研究

实验分为 4 组: PBS 组、PPC 组 (20 $\mu\text{g}/\text{mL}$)、LPS 组 (100 ng/mL)、LPS (100 ng/mL) + PPC (20 $\mu\text{g}/\text{mL}$) 组。每组 3 个重复孔。加入上述刺激培养 24 h 后, 收集上清后, 向细胞中加入 Trizol, 反复吹打, 待细胞裂解充分后, 收集细胞裂解液。以上样本置于 -80°C 冰箱备用。

(二) PTEN 在 PPC 调控 LPS 诱导 M ϕ 炎症反应中的作用研究

实验分为 6 组: PBS 组、PPC 组 (20 $\mu\text{g}/\text{mL}$)、LPS 组 (100 ng/mL)、LPS (100 ng/mL) + PPC (20 $\mu\text{g}/\text{mL}$) 组, PPC (20 $\mu\text{g}/\text{mL}$) + SF1670 (150 ng/mL)、LPS (100 ng/mL) + PPC (20 $\mu\text{g}/\text{mL}$) + SF1670 (150 ng/mL)。每组 3 个重复孔。加入上述刺激培养 24 h 后, 样本收集同前。

1.3.3 实时荧光定量 RT-PCR 检测 IL-6 mRNA 表达情况

收集上述各组 TRIzol 裂解细胞, 抽提 RNA, 用 TransStart Top Green qPCR SuperMix 试剂盒反转录 cDNA 后, 运用实时荧光定量 PCR 检测 IL-6 mRNA 表达情况。引物序列见表 1。荧光定量 PCR 反应体系 (20 μL 体系) 为: 上游引物: 10 $\mu\text{mol}/\text{L}$, 1 μL ; 下游引物: 10 $\mu\text{mol}/\text{L}$, 1 μL ; SYBR Green I : 10 μL ; ddH₂O: 7 μL ; cDNA: 1 μL 。荧光定量 PCR 扩增条件为: 预变性 95°C 5 min; PCR 反应 95°C 15 s, 60°C 15 s, 75°C 15 s, 共 45 个循环。以 GAPDH 作为内参, 校正目标基因的表达量, 应用 $2^{-\Delta\Delta Ct}$ 法计算各基因的相对表达量。

表 1 用于实时荧光定量 RT-PCR 的引物序列

Table 1 The primer sequences used for quantitative real-time RT-PCR

基因 Gene	引物序列 (5'-3') Primer sequence
IL-6	Forward: CCACGGCCTTCCCTAC Reverse: AAGTGCATCATCGTTGT
GAPDH	Forward: CAACTTGGCATTGTGGAAGG Reverse: ACACATTGGGGTAGGAACAC

1.3.4 Western blot 检测 PTEN 表达

收集各组细胞沉淀, 加入 RIPA 裂解液后, 抽提总蛋白, 定量后, 进行蛋白电泳及转膜。转膜后, 用 5% 脱脂牛奶室温封闭 2 h, 分别用稀释浓度为 1:1000 的 PTEN、 β -actin 抗体孵育 4°C 过夜。Washing

buffer 洗 3 次, 每次 15 min。稀释度为 1:5000 抗兔二抗室温孵育 2 h, washing buffer 洗 3 次, 每次 15 min, ECL 显影后用 Image Lab 软件进行图片分析。

1.3.5 ELISA 检测测炎症相关因子蛋白含量

采用美国 eBioscience 公司 ELISA 试剂盒检测培养上清中 IL-6、IL-10、TNF- α 水平。具体操作按照说明书进行。

1.4 统计学方法

采用 GraphPad 软件 6.0 进行作图及统计学分析。数据统计结果用平均数 \pm 标准差 ($\bar{x} \pm s$) 表示。多组样本之间采用单因素方差分析, 以 $P < 0.05$ 为差异有统计学意义。

2 结果

2.1 PPC 对 LPS 诱导 M ϕ 炎症因子的影响

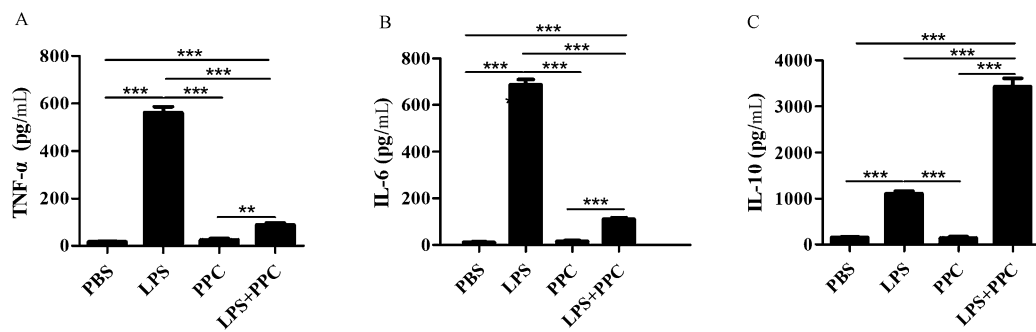
为探讨 PPC 对炎症反应的调控作用, 用 ELISA 检测培养上清中炎症相关因子的含量(图 1)。PPC 组 TNF- α 、IL-6、IL-10 的含量分别为 (26.007 ± 7.764) pg/ mL 、(15.181 ± 5.619) pg/ mL 、(138.809 ± 44.789) pg/ mL , 与 PBS 组的 (17.827 ± 3.704) pg/ mL 、(10.565 ± 1.709) pg/ mL 、(153.822 ± 14.277) pg/ mL , 无明显统计学差异 ($P > 0.05$)。LPS+PPC 组炎症相关因子 TNF- α 、IL-6 的含量分别为 (87.977 ± 13.374) pg/ mL 、(109.875 ± 11.029) pg/ mL , 显著低于 LPS 组炎症相关因子含量 (561.402 ± 42.748) pg/ mL 、(686.887 ± 37.841) pg/ mL ($P < 0.001$), 而 LPS+PPC 组 IL-10 为 (3433.795 ± 302.731) pg/ mL , 显著高于 LPS 组的 (1105.894 ± 92.478) pg/ mL ($P < 0.001$)。以上结果表明, PPC 能显著抑制 LPS 诱导的 M ϕ 炎症反应。

2.2 PPC 对 LPS 活化 M ϕ 细胞中 PTEN 表达的影响

为探讨 PPC 调控炎症的信号通路, 利用 Western blot 检测上述各组 PTEN 蛋白表达情况(图 2)。相比 PBS 组, LPS 组 PTEN 表达下降 ($P < 0.05$); PPC 组 PTEN 表达升高 ($P < 0.001$)。相对 LPS 组, PPC+LPS 组 PTEN 表达量显著升高 ($P < 0.001$)。以上结果提示, PPC 可能通过作用于上调 PTEN 抑制 LPS 诱导的 M ϕ 炎症反应。

2.3 SF1670 对 PPC 调控 M ϕ 炎症因子的影响

为明确 PTEN 是否参与 PPC 下调 LPS 诱导的 M ϕ 炎症反应, 向上述培养体系中加入 PTEN 抑制剂 SF1670, ELISA 及实时荧光定量 RT-PCR 检测炎症

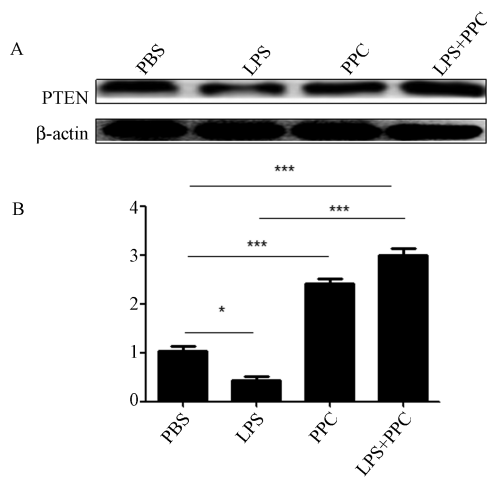


注:图中四组 bar 依次代表巨噬细胞经过 PBS、LPS、PPC、LPS+PPC 处理后上清中 TNF- α 、IL-6 及 IL-10 的含量。与 LPS 组比较, ** $P < 0.01$; *** $P < 0.001$ 。

图 1 PPC 对 LPS 诱导 M ϕ 细胞炎症因子分泌的影响

Note. The four groups of bars in the figure show the content of TNF- α , IL-6 and IL-10 in supernatant of macrophages treated with PBS, LPS, PPC and LPS+PPC. Compared with the PPC group, ** $P < 0.01$; *** $P < 0.001$.

Figure 1 The effects of PPC on the secretion of inflammatory cytokines in macrophages induced by LPS



注:图中 A 代表性 Western blot,图中 B 四组 bar 依次代表巨噬细胞经过 PBS、LPS、PPC、LPS + PPC 处理后 PTEN 的相对表达量。与 LPS 组比较, ** $P < 0.01$; *** $P < 0.001$ 。

图 2 PPC 对 LPS 活化 Raw264.7 细胞中 PTEN 表达的影响

Note. Figure 2A, Western blot. Figure 2B, The relative expression of PTEN in macrophages treated with PBS, LPS, PPC and LPS+PPC. Compared with the PPC group, ** $P < 0.01$; *** $P < 0.001$.

Figure 2 The effects of PPC on the PTEN expression of Raw 264.7 cells activated by LPS.

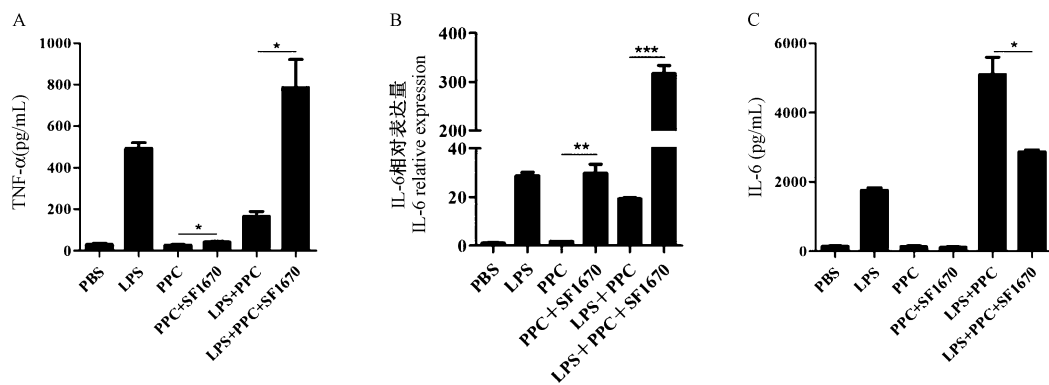
因子的表达变化(图 3)。PPC+SF1670 组 TNF- α 含量为 (42.286 ± 5.737) pg/mL, 显著高于 PPC 组 ($P < 0.05$) ; PPC 组为 IL-6 相对表达量为 (1.690 ± 0.251) , 显著低于 PPC+SF1670 组的 (29.627 ± 6.469) ($P < 0.001$) ; 而 PPC 组 IL-10 含量与 PPC+SF1670 组无明显差异 ($P > 0.05$) 。PPC+LPS+SF1670 组 TNF- α 含量为 (786.876 ± 234.499) pg/

mL, 显著高于 PPC+LPS 组的 (165.310 ± 40.763) pg/mL ($P < 0.05$) ; PPC+LPS+SF1670 组 IL-6 的表达量为 (316.695 ± 23.262) , 显著高于 PPC+LPS 组 ($P < 0.001$) ; PPC+LPS+SF1670 组 IL-10 含量为 (2869.317 ± 106.722) pg/mL, 显著低于 PPC+LPS 组的 (5100.46 ± 856.631) pg/mL ($P < 0.05$) 。以上结果表明, PTEN 参与了 PPC 下调 LPS 诱导 M ϕ 炎症反应。

3 讨论

本研究发现 PPC 能下调 LPS 诱导的巨噬细胞炎症反应, 并证明 PTEN 参与 PPC 的抗炎作用。作为一种经典护肝药物, 近些年来发现 PPC 也可治疗重症胰腺炎^[13]、急性脓毒症^[14]、类风湿性关节炎^[3]等非肝脏疾病; 但其抗炎机制需进一步探讨。

本研究发现, PPC 并不会诱导正常 M ϕ 细胞产生炎症反应, 与课题组前期报道 PPC 对 M ϕ 细胞的增殖与凋亡均无明显影响相符^[9]。但 PPC 能明显抑制 LPS 诱导的 M ϕ 细胞释放促炎因子 IL-6、TNF- α 的分泌, 并促进抗炎因子 IL-10 的分泌。在 M ϕ 细胞炎症反应中, TNF- α 与 IL-6 是主要的炎性因子。其中, TNF- α 可通过介导 T 细胞的激活与增殖来促进炎症反应, 而 IL-6 可通过淋巴细胞的激活与增值、B 细胞的分化、白细胞的募集以及肝内急性蛋白反应来促进炎症活动, 从而在炎性疾病发生发展中发挥着重要作用^[15]。IL-10 主要由单核细胞和淋巴细胞产生, 被认为是最重要的抗炎因子之一^[16]。目前, 针对 IL-6、TNF- α 的抗体及受体阻断剂已被开发用于治疗自身免疫性疾病^[17-18]。本研究结果提示,



注:上清中 TNF- α 、IL-10 的含量及细胞中 IL-6 的相对表达量。与 LPS+PPC 组比较, ** $P < 0.01$; *** $P < 0.001$ 。

图 3 PTEN 抑制后 PPC 对 LPS 诱导 M ϕ 细胞炎症反应的影响

Note. The content of TNF- α and IL-10 in supernatant and relative expression of IL-6 in macrophages. Compared with the LPS + PPC group, ** $P < 0.01$; *** $P < 0.001$ 。

Figure 3 The effects of PPC on LPS induced inflammatory response in macrophages after inhibition of PTEN

PPC 具有较好的抗炎潜力,可能用于治疗炎性疾病。

本研究还证实,PPC 发挥抗炎作用与其上调 PTEN 有关。PPC 能显著上调 M ϕ 细胞 PTEN 表达,而采用抑制剂 SF1670 抑制 PTEN 表达,PPC 不能下调 LPS 诱导的炎症反应。有研究显示,PTEN 可通过催化 3, 4, 5-三磷酸磷脂酰肌醇(phosphatidylinositol 3,4,5-trisphosphate, PIP3)去磷酸化拮抗 PI3K 活性^[19],下调 PI3K/AKT 通路从而抑制下游信号分子 NF- κ B 与 mTOR 的激活^[20-21]。PI3K 是由一个催化亚基(p110 α / β / γ / δ)和一个调节亚基(p85 α / β)组成的杂二聚体蛋白^[22]。在细胞被生长因子或细胞因子激活后,PI3K 催化 D3 位的 4,5-二磷酸磷脂酰肌醇(phosphatidylinositol 4,5-bisphosphate, PIP2)转化生成 PIP3。AKT 通过血小板同源结构域(pleckstrin homology domain, PH domain)与 PIP 3 结合,引起 AKT 构象的改变,随后 AKT 在 Ser473/474 被磷酰肌醇依赖性激酶 2 (phosphoinositide-dependent kinase-2, PDK-2) 激活^[23]。AKT 能激活多种基因的转录,特别是那些参与免疫激活、细胞增殖、凋亡和细胞存活的基因。已有研究证明 PI3K/AKT 参与 NF- κ B 活化及 NF- κ B 依赖性细胞因子的表达,激活各种炎症基因的转录,促进炎症因子生成,诱发炎症反应^[24]。此外,下调 PI3K/AKT 信号轴也可能促进 M ϕ 细胞向 M2 型分化^[25]。在 CCl4 诱导小鼠肝纤维化进展逆转模型中,PTEN 可以下调 PI3K/AKT/STAT6 信号通路,促进巨噬细胞向 M2 型分化^[26]。结合前人研究,本研究推测

PPC 可能通过上调 PTEN 表达,下调 PI3K/AKT 通路,以抑制 M ϕ 细胞释放炎症因子,但具体机制尚需进一步证实。

参考文献:

- 王镜岩,朱圣庚,徐长法. 生物化学 [M]. 第3版. 北京: 高等教育出版社; 2010.
- Feige E, Mendel I, George J, et al. Modified phospholipids as anti-inflammatory compounds [J]. Curr Opin Lipidol, 2010, 21(6): 525-529.
- Ben-Ami Shor D, Bashi T, Lachnisch J, et al. Phosphorylcholine-tuftsin compound prevents development of dextran sulfate-sodium-salt induced murine colitis: implications for the treatment of human inflammatory bowel disease [J]. J Autoimmun, 2015, 56: 111-117.
- Bashi T, Shovman O, Fridkin M, et al. Novel therapeutic compound tuftsin-phosphorylcholine attenuates collagen-induced arthritis [J]. Clin Exp Immunol, 2016, 184(1): 19-28.
- Li L, Zhang XJ, Lan Y, et al. Treatment of non-alcoholic fatty liver disease by Qianggan Capsule [J]. Chin J Integr Med, 2010, 16(1): 23-27.
- Lieber CS, Robins SJ, Li J, et al. Phosphatidylcholine protects against fibrosis and cirrhosis in the baboon [J]. Gastroenterology, 1994, 106(1): 152-159.
- 王涛,陈东风. 多烯磷脂酰胆碱通过过氧化物酶体增殖物激活受体 α /肉碱棕榈酰基转移酶 1A 通路影响肝细胞脂肪变性 [J]. 中华肝脏病杂志, 2016, 24(4): 291-296.
- Cao M, Li X, Zhang B, et al. The effect of polyene phosphatidyl choline intervention on nonalcoholic steatohepatitis and related mechanism [J]. Am J Transl Res, 2016, 8(5): 2325-2330.
- Pan W, Hao WT, Xu HW, et al. Polyene Phosphatidylcholine inhibited the inflammatory response in LPS-stimulated macrophages and ameliorated the adjuvant-induced rat arthritis

- [J]. Am J Transl Res, 2017, 9(9): 4206–4216.
- [10] Li J, Yen C, Liaw D, et al. PTEN, a putative protein tyrosine phosphatase gene mutated in human brain, breast, and prostate cancer [J]. Science, 1997, 275(5308): 1943–1947.
- [11] Makker A, Goel MM, Mahdi AA. PI3K/PTEN/Akt and TSC/mTOR signaling pathways, ovarian dysfunction, and infertility: an update [J]. J Mol Endocrinol, 2014, 153(3): R103–118.
- [12] Qi Y, Liu J, Saadat S, et al. PTEN induces apoptosis and cavitation via HIF-2-dependent Bnip3 upregulation during epithelial lumen formation [J]. Cell Death Differ, 2015, 22(5): 875–884.
- [13] Li X, Wu Z, Sha H, et al. Protective effects of polyenylphosphatidylcholine in rats with severe acute pancreatitis [J]. Pancreas, 2015, 44(4): 596–601.
- [14] Demirbilek S, Ersoy MO, Demirbilek S, et al. Effects of polyenylphosphatidylcholine on cytokines, nitrite/nitrate levels, antioxidant activity and lipid peroxidation in rats with sepsis [J]. Intensive Care Med, 2004, 30(10): 1974–1978.
- [15] Stenvinkel P, Ketteler M, Johnson RJ, et al. IL-10, IL-6, and TNF- α : central factors in the altered cytokine network of uremia—the good, the bad, and the ugly [J]. Kidney Int, 2005, 67(4): 1216–1233.
- [16] Nishimoto N, Sasai M, Shima Y, et al. Improvement in Castleman's disease by humanized anti-interleukin-6 receptor antibody therapy [J]. Blood, 2000, 95(1): 56–61.
- [17] Maini RN, Taylor PC. Anti-cytokine therapy for rheumatoid arthritis [J]. Annu Rev Med, 2000, 51: 207–229.
- [18] Palladino MA, Bahjat FR, Theodorakis EA, et al. Anti-TNF-alpha therapies: the next generation [J]. Nat Rev Drug Discov, 2003, 2(9): 736–746.
- [19] Moore MN. Do airborne biogenic chemicals interact with the PI3K/Akt/mTOR cell signalling pathway to benefit human health and wellbeing in rural and coastal environments? [J]. Environ Res, 2015, 140: 65–75.
- [20] Cantley LC, Neel BG. New insights into tumor suppression: PTEN suppresses tumor formation by restraining the phosphoinositide 3-kinase/AKT pathway [J]. Proc Natl Acad Sci U S A, 1999, 96(8): 4240–4245.
- [21] Chen L, Guo D. The functions of tumor suppressor PTEN in innate and adaptive immunity [J]. Cell Mol Immunol, 2017, 14(7): 581–589.
- [22] Fresno Vara JA, Casado E, de Castro J, et al. PI3K/Akt signalling pathway and cancer [J]. Cancer Treat Rev, 2004, 30(2): 193–204.
- [23] Blume-Jensen P, Hunter T. Oncogenic kinase signalling [J]. Nature, 2001, 411(6835): 355–365.
- [24] Li J, Li J, Yue Y, et al. Genistein suppresses tumor necrosis factor α -induced inflammation via modulating reactive oxygen species/Akt/nuclear factor κ B and adenosine monophosphate-activated protein kinase signal pathways in human synoviocyte MH7A cells [J]. Drug Des Devel Ther, 2014, 8: 315–323.
- [25] Hyam SR, Lee IA, Gu W, et al. Arctigenin ameliorates inflammation in vitro and in vivo by inhibiting the PI3K/AKT pathway and polarizing M1 macrophages to M2-like macrophages [J]. Eur J Pharmacol, 2013, 708(1–3): 21–29.
- [26] Cheng Y, Tian Y, Xia J, et al. The role of PTEN in regulation of hepatic macrophages activation and function in progression and reversal of liver fibrosis [J]. Toxicol Appl Pharmacol, 2017, 317: 51–62.

〔收稿日期〕2019-01-25

(上接第 16 页)

- [8] 吴可人. 高浓度 CO₂ 与内生菌互作对超积累东南景天生长、镉吸收积累及微生物群落结构的影响 [D]. 杭州: 浙江大学, 2018.
- [9] 赵笑枫. 肠道菌群结构变化与结直肠癌相关性的研究 [D]. 昆明: 昆明医科大学, 2017.
- [10] 薛越, 王青青. 肠道菌群与恶性肿瘤的研究进展 [J]. 实用肿瘤杂志, 2016, 31(1): 9–13.
- [11] Topping DL, Clifton PM. Short-chain fatty acids and human colonic function: roles of resistant starch and nonstarch polysaccharides [J]. Physiol Rev, 2001, 81(3): 1031–1064.
- [12] 许芳, 赵阳, 武其文. 高通量测序技术在检测循环肿瘤细胞中的应用 [J]. 分子诊断与治疗杂志, 2018, 10(1): 56–60, 72.
- [13] Zackular JP, Baxter NT, Chen GY, et al. Manipulation of the gut microbiota reveals role in colon tumorigenesis [J]. mSphere, 2016, 1(1): e00001–15.
- [14] 朱华, 肖冲, 尚海泉, 等. 基于高通量测序的不同年龄恒河猴肠道菌群结构差异分析 [J]. 中国实验动物学报, 2019, 27(1): 72–78.

- [15] 季白旦, 阿不来提, 阿孜尔古丽·阿布都克日本, 德力夏提·依米提. 乳腺癌患者肠道菌群高通量测序初步探索 [J]. 新疆医科大学学报, 2017, 40(6): 839–843.
- [16] 杨立娜, 朱力杰, 王勃, 等. 肠道微生物调控肠道肿瘤的相关性研究进展 [J]. 食品工业科技, 2017, 38(7): 371–375.
- [17] Duhamel GE. Comparative pathology and pathogenesis of naturally acquired and experimentally induced colonic spirochetosis [J]. Anim Health Res Rev, 2001, 2(1): 3–17.
- [18] 杨婧, 朱金芬, 孟灵, 等. 糖尿病患者糖脂代谢、炎症反应与乳酸杆菌水平的相关性研究 [J]. 内科, 2018, 13(4): 581–583, 595.
- [19] 姜洋, 赵秋枫, 王实, 等. 基于 16S rRNA 序列分析肠道菌群失调与溃疡性结肠炎的相关性 [J]. 世界华人消化杂志, 2017, 25(36): 3191–3202.
- [20] 廖秦平, 牛小溪. 人体微生态研究现状与展望 [J]. 中国实用妇科与产科杂志, 2017, 33(8): 777–778.

〔收稿日期〕2019-06-03